

# حداقل‌سازی خطای چندمسیری گیرنده ارزان‌قیمت GPS با استفاده از روش‌های ترکیبی GA-SVM و PSO-SVM

محمد شمس اسفندآبادی، محمدحسین رفان و عادل دمشقی

تعیین مکان (طول/عرض/ارتفاع) جغرافیایی حداقل نیاز به ۴ ماهواره است [۳]. دقیق مکان‌یابی این سامانه تحت تأثیر خطاهای ناشی از یونسfer و تروپوسفر، خطاهای مداری و چندمسیری ... چندان بالا نیست [۴] و [۵]. یکی از خطاهایی که سامانه تقاضلی روی آن اثر ندارد و جزء خطای غیروابسته و مختص به هر گیرنده به طور جداگانه می‌باشد، چندمسیری است [۶] و [۸]. سامانه GPS یک سامانه قابل انعطاف است که مکان دقیق را با نرخ بالا فراهم می‌کند. در میان عوامل خطای تأثیرگذار در سیگنال GPS چندمسیری یک خطای اساسی است [۹] و [۱۰]. چندمسیری وقتی که سیگنال GPS از ماهواره به آتن از طرق مختلف می‌رسد اتفاق می‌افتد. دلیل این پدیده، انعکاس و پراکنش سیگنال در برخورد با عناصر جانبی مانند ساختمان، کوه و ... است. این خطای قابل توجه بوده و بر روی موقعیت‌یابی ایستا و پویا اثرگذار است [۱۱]. چندمسیری از یک گیرنده به گیرنده دیگر متفاوت است و دارای همبستگی نیست [۸]. اغلب روش‌های پردازش اطلاعات از اطلاعات خطای چندمسیری و یا خود اثر چندمسیری به عنوان سیگنال ورودی الگوریتم‌ها استفاده می‌کنند. اگر مدت زمان سپری شده بیش از یک کد باشد گیرنده بر اثر چندمسیری غلبه کرده و اثر کمی از این خطای عملکرد مکان‌یابی GPS به وجود خواهد آمد [۹] اما اگر این تأخیر اندک باشد اثر چندمسیری به شدت بر مکان‌یابی تأثیر خواهد داشت. روند محاسبه همبستگی بین سیگنال دریافت شده و مرجع تولید شده در گیرنده تحت تأثیر سیگنال دریافتی که نسخه تحریف شده از سیگنال اصلی است، قرار دارد. سیگنال آسیب‌دیده موجب تخریب و خطای در مشاهدات کد و فاز و در نتیجه خطای در مکان‌یابی می‌شود [۱۰]. با توجه به نوع گیرنده اثر چندمسیری موجب خطای در محدوده متر برای مشاهدات کد و در محدوده سانتی‌متر برای مشاهدات فاز می‌گردد [۱۱]. در گیرنده، چندمسیری با ۴ مشخصه نمایان می‌گردد و تمام این مشخصات به سیگنال مستقیم ارتباط دارد (دامنه سیگنال بازگشتی نسبت به سیگنال مستقیم، طول تأخیر، فاز سیگنال بازگشتی نسبت به سیگنال مستقیم و نرخ فاز) [۱۲]. مدل سازی اثر چندمسیری و کاهش آن یک چالش بزرگ در کاربردهای GPS دقیق است [۱۳]. روش‌های گوناگون شامل روش‌های سخت‌افزاری و نرم‌افزاری برای کاهش این اثر به کار گرفته شده‌اند [۱۴] و روش‌های نرم‌افزاری در کاهش این اثر کارایی بهتری دارد. اثر چندمسیری هم در کاربردهای زمانی و هم در کاربردهای مکانی تأثیرگذار است هر چند این اثر فوایدی چون اندازه‌گیری عمق برف و رشد گیاهان را دارد.

در این مقاله کاهش اثر چندمسیری مبتنی بر کد گیرنده‌ای ارزان‌قیمت بر اساس یک روش نرم‌افزاری مدل نظر قرار گفته و مدل چندمسیری بر اساس مدل SVM استخراج شده است. چندمسیری استخراج شده برای بهبود مشاهدات مکان‌یابی استفاده می‌شود. آزمایش‌ها برتری الگوریتم پیشنهادی در مقاله را نسبت به الگوریتم‌هایی که اخیراً برای این منظور استفاده شده‌اند نشان داد. برای تعیین پارامترهای اساسی SVM از GA و

PSO از یک مسیر انتخاب و با روش‌های تفاضلی حذف نمی‌شود. این اثر به طور گستره‌ای وابسته به محیط‌های مختص هر گیرنده است و یک اثر فرکانس پایین است. هندسه بین ماهواره‌های GPS و مکان خاص هر گیرنده در روزهای نجومی تکرار می‌گردد و اثرات چندمسیری تمايل به رفتارهای مشابه در روزهای متوالی دارد. در این مقاله یک روش برای استخراج رفتار اثرات چندمسیری بر مشاهدات کد GPS اعمال شد و کاهش خطای چندمسیری موجب افزایش دقیق مکان‌یابی می‌شود. در روش پیشنهادی، سیگنال مانده بر اساس تفاضل دوگانه (DD) تولید شده و به عنوان ورودی الگوریتم پیشنهادی استفاده می‌شود. برای تقریب و مدل‌سازی چندمسیری از مدل ماشین بردار پشتیبان (SVM) استفاده شده است. برای تعیین پارامترهای اساسی SVM و تابع کرنل آن از دو الگوریتم بهینه‌سازی گروهی ذرات (PSO) و الگوریتم ژنتیک (GA) استفاده شد. برای ارزیابی دقیق روش پیشنهادی، شبیه‌سازی و آزمایشاتی بر اساس دو ایستگاه (مرجع و کاربر) و دو گیرنده ارزان‌قیمت مورد بررسی قرار گرفت. نتایج نشان داد که خطای چندمسیری گیرنده ایستگاه واقعی انجام شد و آزمایشات نشان داد که خطای چندمسیری گیرنده ایستگاه کاربر بر اساس معیار RMS با این روش تا ۷۰ درصد در حالت تست ایستا کاهش داشته است. مدل‌های این مقاله با برخی مدل‌های اخیر ارائه شده در زمینه کاهش خطای چندمسیری مقایسه شده‌اند. نتایج نشان داد که مدل پیشنهادی عملکرد بهتری نسبت به سایر روش‌ها داشته و از نتایج آن دقیق بالا و پایداری نتایج در مکان‌یابی است. دقیق مکان‌یابی سه‌بعدی پس از استفاده از روش پیشنهادی حدود ۵۶٪ بهبود داشته و به ۱۶۰ متر رسیده است.

**کلیدواژه:** PSO، SVM، GA، GPS، چندمسیری.

## ۱- مقدمه

سامانه GPS، مکان‌یابی بر اساس صورت فلکی بیش از ۲۴ ماهواره است که علاوه بر مکان، سرعت و زمان دقیق را در اختیار کاربران قرار می‌دهد [۱]. ماهواره‌های این سامانه دور مدارات مشخص اطراف زمین می‌چرخدند و سیگنال‌هایی را برای ایستگاه‌های زمینی ارسال می‌کنند [۲]. استفاده از سیستم‌های ماهواره‌ای موجب گردیده این سامانه با پایداری زیادی بدون مشکلات مکان‌یابی زمین پایه به سرویس‌دهی پردازد. برای

این مقاله در تاریخ ۸ مهر ماه ۱۳۹۴ دریافت و در تاریخ ۳ آبان ماه ۱۳۹۶ بازنگری شد.  
محمد شمس اسفندآبادی، دانشکده مهندسی برق، دانشگاه تربیت دیبر شهیدرجایی، تهران، (email: mshams@sru.ac.ir).  
محمدحسین رفان، دانشکده مهندسی برق، دانشگاه تربیت دیبر شهیدرجایی، تهران، (email: refan@sru.ac.ir).  
عادل دمشقی، دانشکده مهندسی برق، دانشگاه تربیت دیبر شهیدرجایی، تهران، (email: dameshghi.adel@sru.ac.ir).

کاهش چندمسیری ارائه شده است [۲۷] تا [۳۰]. استفاده از فیلترهای ذرهای در کنار الگوریتم‌های رایجی مانند فیلتر کالمون و فیلتر کالمون توسعه‌یافته از دیگر تلاش‌ها برای کاهش این پدیده مخرب سیگنال GPS است.

بسیاری از الگوریتم‌ها برای حل مسئله خطی به وجود آمده‌اند. برای تخمین و حل مسایل غیر خطی طرح‌های خطی‌سازی محلی راه حل‌های بهینه‌ای برای حل بسیاری مسایل از سیستم‌های غیر خطی هستند. در مسایلی که این مدل‌ها ناموفق هستند استفاده از مدل‌های جایگزین مانند فیلترهای ذرهای مناسب است [۳۱]. ترکیب سه روش شامل مدل موجک، مدل فیلتر کالمون و فیلتر ذرهای با نام فیلتر ذرهای ترکیبی از جمله کارهای جدید است [۳۲]. روش‌های متنوعی بر اساس ویولت مطرح شده که این روش‌ها بر اساس حذف نویز عمل می‌کنند. به منظور استخراج و کاهش خطای چندمسیری این مدل‌ها اطلاعات خطای DD را در نویز فرکانس پایین و نویز فرکانس بالا به عنوان ورودی دریافت کرده و سپس مدل‌سازی می‌کنند. اطلاعات خروجی مستقیماً به منظور افزایش دقت سامانه به مشاهدات GPS اعمال می‌گردد [۳۳].

تخمین‌زنن یکی از روش‌های کاربردی در حل مشکلات مسیریابی است. از جمله این کاربردها اندازه‌گیری و تخمین موقعیت وسیله در حال حرکت است. واضح است که حفظ امنیت وسیله‌ای مانند هوایپما در این است که این مسیریابی به صورت بلاذرنگ و در نتیجه تخمین بلاذرنگ باشد. این تحقیق برای گیرنده‌های دوفرکانسه و بر اساس مقایسه اندازه‌گیری فاز حامل با اندازه‌گیری حامل-منهای- کد است و از آنجایی که اثر چندمسیری قابل فرموله‌شدن است، بنابراین روشی برای تخمین چندمسیری بر اساس SVM ارائه گردیده است [۳۴]. اولین تحقیقات در حوزه کاهش چندمسیری به صورت نرم‌افزاری در سال ۱۹۹۸ با استفاده از ماهواره‌های ارتفاع بالا انجام شد. هرچند این روش‌ها خطای چندمسیری را حذف نمی‌کند اما آن را کاهش می‌دهد. در این روش‌ها DD به عنوان ورودی مدل است و از آن برای استخراج اثر چندمسیری استفاده می‌شود و در نتیجه مشاهدات GPS قابل بهبود است. یک برنامه مبتنی بر MATLAB/OCTAVE برای کاهش اثر چندمسیری در سال ۲۰۱۴ ارائه شده است [۳۵].

### ۳- اثر چندمسیری

با توجه به این که هدف مقاله کاهش اثر چندمسیری در گیرنده‌های ارزان قیمت GPS است، مشاهدات مورد مطالعه بر اساس شبیه‌فاصله- کد می‌باشد. دریافت سیگنال معنکس شده با اجرام جانی توسط ایستگاه مرجع این سامانه موجب افزایش زمان رسیدن سیگنال نسبت به حالت مستقیم می‌شود. ارتفاع و فاز سیگنال معنکس شده بستگی به خصوصیات سطح بازتابنده و هندسه بین ماهواره GPS، آنتن گیرنده و اجرام بازتابنده دارد. برای نشان دادن انتشار چندمسیری GPS فرض بر این است که سیگنال از یک سمت ورودی را دریافت می‌کند و از یک سمت خروجی مطابق با شکل ۱ بازتابیده می‌شود. چندمسیری بر اساس انحراف کد C/A یا کد P است، همانند انحرافی که در مشاهدات فاز حامل وجود دارد. فرکانس‌های فاز حاملی برای GPS وجود دارد از جمله  $L_1$  به فرکانس  $1575/42$  مگاهرتز،  $L_2$  به فرکانس  $1227/60$  مگاهرتز و  $L_3$  به فرکانس  $1176/45$  مگاهرتز. مدل ریاضی برای اندازه‌گیری فاز و کد حامل ارائه می‌شود [۳۰]. مشاهدات ماهواره بر اساس اندازه‌گیری کد و همچنین مشاهدات فاز به صورت (۱) و (۲) است [۳۲] و [۳۶]

PSO استفاده شده است. استفاده از این روش‌ها با فرض خصوصیات محیطی ماندگار و غیر قابل تغییر برای نمونه‌برداری است. اثرات چندمسیری GPS به صورت یک سری زمانی نوشته می‌شود. این اثر به صورت یکتابع مکرر و بر اساس رابطه هندسی ماهواره نسبت یک گیرنده ثابت در دو روز متوالی قابل مدل‌سازی است. بنابراین اثر چندمسیری به صورت یک مسئله رگرسیونی قابل نگاشت است. در ابتدا یک ایستگاه مرجع برای نمونه‌برداری تعیین شد و با استفاده از یک گیرنده ارزان قیمت نمونه‌برداری اطلاعات انجام شد. اطلاعات در ۵ روز متوالی جمع‌آوری گردید و سپس بر اساس ساختار مشخص اطلاعات چندمسیری تولید و از آن به عنوان ورودی ایجاد مدل معرفی شد. اطلاعات پس از پیش‌پردازش، آماده و به عنوان ورودی به الگوریتم GA و PSO برای تعیین پارامترهای اساسی SVM استفاده شد و سپس کارایی این روش‌ها با سایر روش‌های کاهش اثر چندمسیری مبتنی بر کد مقایسه شد.

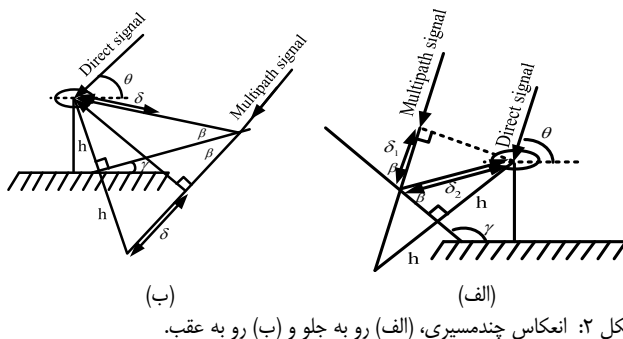
ساختار مقاله به این شرح است: بخش دوم مقاله مروری بر کارهای در گذشته انجام شده در کاهش اثر چندمسیری است. بخش سوم به اثر چندمسیری شبیه‌فاصله- کد می‌پردازد. بخش چهارم SVM است و در همین بخش روش‌های ترکیبی PSOSVM و GASVM تشریح می‌گردد. شیوه جمع‌آوری اطلاعات بخش پنجم است. شبیه‌سازی، تحلیل و سنجش روش‌ها در بخش ششم انجام می‌شود و نهایتاً بخش هفتم نتیجه‌گیری مقاله است.

### ۲- روش‌های کاهش چندمسیری

روش‌های گوناگونی برای کاهش خطای چندمسیری گیرنده به کار گرفته شده که در چهار دسته کلی شامل طراحی آنتن مناسب و تعیین مکان مناسب برای آن، بهبود ساختاری و سخت‌افزار داخلی گیرنده‌های GPS، پس‌پردازش و نهایتاً راهکارهای پردازش سیگنالی است. روش‌های مبتنی بر آنتن شامل آنتن‌های حلقوی [۱۵] و آنتن‌های مضاعف [۱۶] مثال‌هایی در این زمینه هستند.

برخی از روش‌های کاهش اثر چندمسیری بر اساس سخت‌افزار هستند [۱۷] و [۱۸]. روش‌های مبتنی بر سخت‌افزار به دو دسته روش‌های مبتنی بر گیرنده و آنتن تقسیم می‌شوند. در این زمینه محققان در حوزه پردازش سیگنال گیرنده تکنولوژی کاهش چندمسیری را پیاده‌سازی کردند و تخمین چندمسیری با استفاده DLP که روی گیرنده‌های مدرن GPS پیاده‌سازی شد. این موارد سخت‌افزاری کاملاً اثر چندمسیری را حذف نمی‌کنند [۱۷] و [۱۸].

روش MEDLL برای تخمین سیگنال چندمسیری مبتنی بر کد و فاز ایجاد شد [۱۸]. روش الگوریتم MUSIC بر اساس دسته‌بندی سیگنال چندمسیری ارائه شد [۱۹]. روش‌های پردازش اطلاعاتی اخیراً در حوزه فرکانس و زمان در این مقوله مورد استفاده قرار می‌گیرند. اعمال روش‌های کاهش چندمسیری، خطای مبتنی بر کد را در حد سانتی‌متر کاهش می‌دهند. در مراجع مختلف حذف این خطای با روش فیلترهای تطبیقی انجام گردیده، یک فیلتر تطبیقی به منظور شناسایی و حذف چندمسیری GPS در [۷] مطرح شده و تعیین سایز گام فیلتر در طراحی بهینه آن تأثیرگذار است [۷] و [۲۰] تا [۲۲]. روش‌هایی با محدوده فرکانسی بر اساس تحلیل طیفی چندمسیری سیگنال GPS و عمدتاً با استفاده از روش FFT و پردازش تبدیل موجک مطرح شده‌اند [۲۳] و [۲۴]. روش مبتنی بر شبکه عصبی نیز در این زمینه استفاده شده است [۲۵] و [۲۶]. طرح‌هایی بر اساس اندازه‌گیری نسبت سیگنال به نویز برای



شکل ۲: انعکاس چندمسیری، (الف) رو به جلو و (ب) رو به عقب.

$$\delta = \gamma h \sin \beta \quad (4)$$

$$\psi = \frac{2\pi}{\lambda} \delta = \frac{2\pi}{\lambda} \gamma h \sin \beta \quad (5)$$

علاوه بر این، قوانین زیر به ترتیب در شکل‌های ۲-الف و ۲-ب با فرض این که زاویه اندازه‌گیری شده در بازه  $0^{\circ}$  تا  $180^{\circ}$  درجه و در جهت ساعت‌گرد باشد برقرار است

$$\beta + \gamma = \theta \quad (6)$$

$$\beta + \theta = \gamma \quad (7)$$

این دو قانون مطابق با (۸) بازنویسی می‌شود

$$\beta = |\theta - \gamma| \quad (8)$$

با ترکیب (۴) تا (۶) در (۳)، فرمول چندمسیری مبتنی بر کد مطابق با یک سیگнал منعکس شده مطابق با رابطه زیر بازنویسی می‌شود

$$M^\rho = \frac{\alpha \gamma h \sin |\theta - \gamma| \cos \frac{4\pi h}{\lambda} \sin |\theta - \gamma|}{1 + \alpha \cos \frac{4\pi h}{\lambda} \sin |\theta - \gamma|} \quad (9)$$

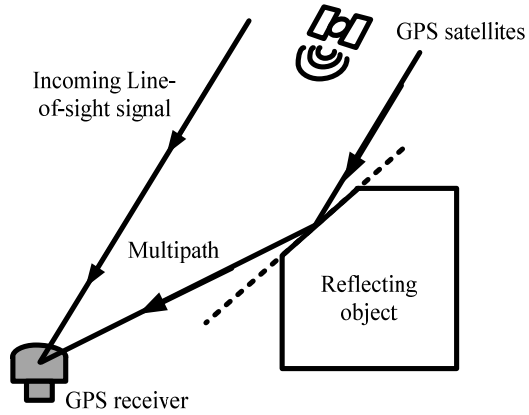
به طور کلی  $m$  سیگنال منعکس شده وجود دارد و کل کد چندمسیری مجموع هر کد چندمسیری به تنها یک است

$$M^\rho = \frac{\sum_{i=1}^m \alpha \gamma h \sin |\theta - \gamma| \cos \frac{4\pi h}{\lambda} \sin |\theta - \gamma|}{1 + \sum_{i=1}^m \alpha \cos \frac{4\pi h}{\lambda} \sin |\theta - \gamma|} \quad (10)$$

با فرض این که محیط چندمسیری ثابت است، مقادیر  $\alpha_i$ ،  $h_i$  و  $\gamma_i$  ثابت هستند [۳۶] و [۳۷].

#### ۴- روش‌های تقریب چندمسیری مبتنی بر ماشین بردار پشتیبان

برای تقریب چندمسیری از دو مدل PSO-SVM و GA-SVM استفاده می‌گردد و تقریب توسط الگوریتم SVM انجام می‌شود. دو الگوریتم GA و PSO برای تعیین پارامترهای اساسی SVM و کرنل SVM استفاده می‌شود. روش SVM یک مدل قوی برای بسیاری از کاربردهای تقریب است. در این الگوریتم از اصول کمینه‌سازی ریسک ساختاری استفاده شده در حالی که سایر روش‌ها از اصول کمینه‌سازی ریسک تجربی بهره می‌برند. ریسک ساختاری عملکرد بهتری نسبت به ریسک تجربی دارد [۱] و [۲]. تنظیم پارامترهای SVM در روند آموزش SVM و دقت تقریب آن تأثیرگذار است. به منظور اطمینان از عملکرد SVM و PSO برای تعیین پارامترهای SVM به کار گرفته شده‌اند.



شکل ۱: اثر چندمسیری.

$$P_i = r + c(\delta_u - \delta_s) + I_i + T + M_i^\rho + \varepsilon_i^\rho \quad (1)$$

$$\phi_i \lambda_i = r + c(\delta_u - \delta_s) - I_i + T + M_i^\phi + \varepsilon_i^\phi \quad (2)$$

جایی که  $r$  رنج صحیح بین یک ماهواره و یک گیرنده،  $c$  سرعت نور و  $\delta_u$  و  $\delta_s$  به ترتیب بیان ساعت ماهواره و گیرنده است.  $T$  تأخیر ترپسفریک،  $I$  تأخیر یونسفریک،  $\lambda$  طول موج و عدد ابهام  $N$  است. نشانه‌های  $M_i^\rho$  و  $M_i^\phi$  خطای چندمسیری کد و نویز گیرنده تصادفی هستند، در حالی که  $M_i^\phi$  و  $\varepsilon_i^\phi$  همین فاکتورها برای اندازه‌گیری فاز هستند. فاکتور  $I$  در هر دو رابطه نشان‌دهنده یونسفریک کد و فاز هست با این تفاوت که دارای علامت عکس یکدیگر می‌باشند. در حالت ایده‌آل در یک محیط چندمسیری-آزاد فقط یک مسیر سیگنالی از هر ماهواره به سمت آتن GPS وجود دارد. در حقیقت هیچ محیط چندمسیری-آزادی وجود ندارد.

آنچه‌ای گیرنده سیگنال را از مسیرهای گوناگونی و بیش از یک مسیر مستقیم دریافت می‌کنند. در نتیجه، گیرنده سیگنال مرکب متشکل از ترکیب سیگنال در جهت مستقیم و چندمسیری را دریافت می‌کند. به طور واضح و روشن، یک نمونه ساده شده از سیگنال چندمسیری را باید در نظر بگیریم.  $A_d$  و  $A_m$  نشان‌دهنده سیگنال مستقیم و چندمسیری،  $\delta$  تأخیر مسیر و  $\Psi$  فاز نسبی چندمسیری بر حسب رادیان است. نسبت ارتفاع سیگنال چندمسیری به سیگنال مستقیم برابر با ۱ است  $\alpha = A_m / A_d \leq 1$  است  $\alpha$  و از طرفی  $\theta$  و  $\mu$  ارتفاع و زاویه ماهواره می‌باشد. مکان هر شیء بازتابنده به عنوان سطح دووجهی نسبت به سطح محلی است که دارای کجی با زاویه  $\gamma$  در فاصله  $h$  از مرکز آتن است.  $\beta$  نشان‌دهنده زاویه بازتابنده شده نسبت به سطح بازتابنده است. خطای چندمسیری کد مطابق با (۳) نشان داده می‌شود

$$M^\rho = \frac{\alpha \delta \cos \psi}{1 + \alpha \cos \psi} \quad (3)$$

برای حصول به مدل هندسی به ارتباط خطای چندمسیری با پارامترهای هندسی شامل زاویه و ارتفاع نیاز است. فرض بر این است که ماهواره، آتن و بردار نرمال نسبت به سطح بازتابنده همگی در یک سطح مشترک هستند. انعکاس چندمسیری به دو دسته تقسیم می‌شود: پراکنش-جلو و پراکنش-عقب. در هر دو ستاریو آن به آسانی مطابق با (۴) و (۵) به دست می‌آید

1. Elevation
2. Azimuth

$$\sum_{i=1}^l (\alpha_i - \alpha_i^*) = 0 \\ \cdot \leq \alpha_i, \alpha_i^* \leq c, i = 1, \dots, l \quad (17)$$

مسئله بهینه‌سازی فوق به کمک روش‌های QP قابل حل می‌باشد، در نتیجه رسیدن به اکسترمم کلی نیز قطعی خواهد بود و خطر به دام افتادن در اکسترمم محلی وجود ندارد. با حل (۱۶) و با استفاده از محدودیت‌های (۱۷) می‌توان ضرایب لاگرانژ  $\alpha_i, \alpha_i^*$  را تعیین کرد

$$\bar{w} = \sum_{i=1}^l (\alpha_i - \alpha_i^*) x_i \text{ and } \bar{b} = \frac{1}{2} (\bar{w}, (x_r + x_s)) \quad (18)$$

$$\text{با توجه به شرایط KKT در معادله خواهیم داشت} \\ \alpha_i \alpha_i^* = 0, i = 1, \dots, l \quad (19)$$

بنابراین بردارهای پشتیبان نقاطی هستند که در آن دقیقاً یکی از ضرایب لاگرانژ بزرگتر از صفر است (در موز) که به معنی برآورده کردن شرط KKT است. نقاط آموزشی با ضرایب لاگرانژ غیر صفر بردار پشتیبان نامیده می‌شوند. وقتی که  $\varepsilon = 0$  صفر است در (۲۰) داریم

$$\min \frac{1}{2} \sum_{i=1}^l \sum_{j=1}^l \beta_i \beta_j (x_i, x_j) - \sum_{i=1}^l \beta_i y_i \quad (20)$$

با محدودیت (۲۱) تابع رگرسیون مطابق با (۱۱) است که در آن  $\bar{w}$  مطابق با (۲۲) است

$$\sum_{i=1}^l \beta_i = 0 - c \leq \beta_i \leq c, i = 1, \dots, l \quad (21)$$

$$\bar{w} = \sum_{i=1}^l \beta_i x_i \text{ and } \bar{b} = -\frac{1}{2} (\bar{w}, (x_r + x_s)) \quad (22)$$

یک نگاشت غیر خطی برای ترسیم داده‌ها در فضای با ابعاد زیاد که در آن رگرسیون خطی انجام می‌شود، صورت می‌گیرد. SVR غیر خطی از تابع تلفات استفاده می‌کند

$$\max w(\alpha, \alpha^*) = \max \sum_{i=1}^l \alpha_i^* (y_i + \varepsilon) - \alpha_i (y_i - \varepsilon) - \frac{1}{2} \sum_{i=1}^l \sum_{j=1}^l (\alpha_i^* - \alpha_i) (\alpha_j^* - \alpha_j) K(x_i, x_j) \quad (23)$$

$$\cdot \leq \alpha_i, \alpha_i^* \leq c, i = 1, \dots, l, \sum_{i=1}^l (\alpha_i - \alpha_i^*) = 0 \quad (24)$$

حل (۲۳) با ثابت‌های (۲۴) ضرایب لاگرانژ  $\alpha^*, \alpha$  را برای تابع رگرسیون مشخص می‌کند. با فرض تابع رگرسیون به صورت (۲۵)

$$f(x) = \sum_{SVS} (\bar{\alpha}_i - \bar{\alpha}_i^*) K(x_i, x) + b \quad (25)$$

در (۲۵) داریم

$$(\bar{w}, x) = \sum_{i=1}^l (\bar{\alpha}_i - \bar{\alpha}_i^*) K(x_i, x) \quad (26)$$

$$\bar{b} = -\frac{1}{2} \sum_{i=1}^l (\bar{\alpha}_i - \bar{\alpha}_i^*) (K(x_i, x_r) + K(x_i, x_s)) \quad (27)$$

در (۲۳) تابع کرنل تابع  $K(x_i, x_j) = (\varphi(\bar{x}_i), \varphi(\bar{x}_j))$  است. تابع کرنل به SVM در رسیدن به کمینه محلی کمک می‌کند. انواع مختلفی از تابع کرنل وجود دارد و با توجه به فواید RBF مورد استفاده قرار می‌گیرد [۴]

عملکرد واقعی مدل SVM به تعیین پارامترهای اساسی آن وابسته است. الگوریتم‌های که برای تعیین این پارامترها استفاده می‌شوند باید سریع و خودکار باشند. مدل‌های PSO-SVM و GA-SVM با SVM با پارامترهای آن با شیوه جستجوی هدایت‌شده (هدفمند) تعیین می‌گردد مقایسه می‌شوند [۱], [۲] و [۴].

در SVM ایده اصلی در حل مسئله تقریب، ترسیم اطلاعاتی ورودی  $X$  در فضای چندبعدی  $F$  با یک رابطه غیر خطی  $\varphi$  و تقریب خطی در این فضای مطابق با رابطه زیر است [۱]

$$f(\bar{x}) = \langle w, \varphi(\bar{x}) \rangle + b \text{ with } \varphi: R^n \rightarrow F, w \in F \quad (11)$$

که در (۱۱)  $f(\bar{x})$  تابع خروجی،  $w$  بردار وزن،  $x$  بردار خروجی و  $b$  بایاس است. بنابراین تقریب خطی در فضای چندبعدی  $F$  با تقریب غیر خطی در فضای با ابعاد کم ورودی  $R^n$  مطابقت دارد. از آنجا که  $\varphi$  ثابت است، بنابراین  $w$  با استفاده از نمونه‌های محدود  $(x_i, y_i), i = 1, 2, \dots, N$  تعیین می‌گردد. در این فرایند مجموع ریسک تجربی  $[f]$  حداقل می‌گردد

$$R_{reg}[f] = R_{reg}[f] + \lambda \|w\| = \sum_{i=1}^l L(y_i, f(\bar{x}_i, w)) + \lambda \|w\| \quad (12)$$

در (۱۲)  $l$  تعداد نمونه و  $L$  و  $\lambda$  ضریب تنظیم است.  $L$  تابع تلفات است. تابع تلفات مطابق با (۱۳) زیر محاسبه می‌گردد

$$L(y_i, f(\bar{x}_i, w)) = \begin{cases} \cdot, & \text{for } |f(x) - y| < \varepsilon \\ |f(x) - y| - \varepsilon, & \text{otherwise} \end{cases} \quad (13)$$

نرمال شده تابع (۱۲) به عنوان یک تابع درجه ۲ مطابق با (۱۴) است

$$\varphi = (w, \theta) = \frac{1}{2} |w|^2 + c \sum (\xi_i^- + \xi_i^+) \quad (14)$$

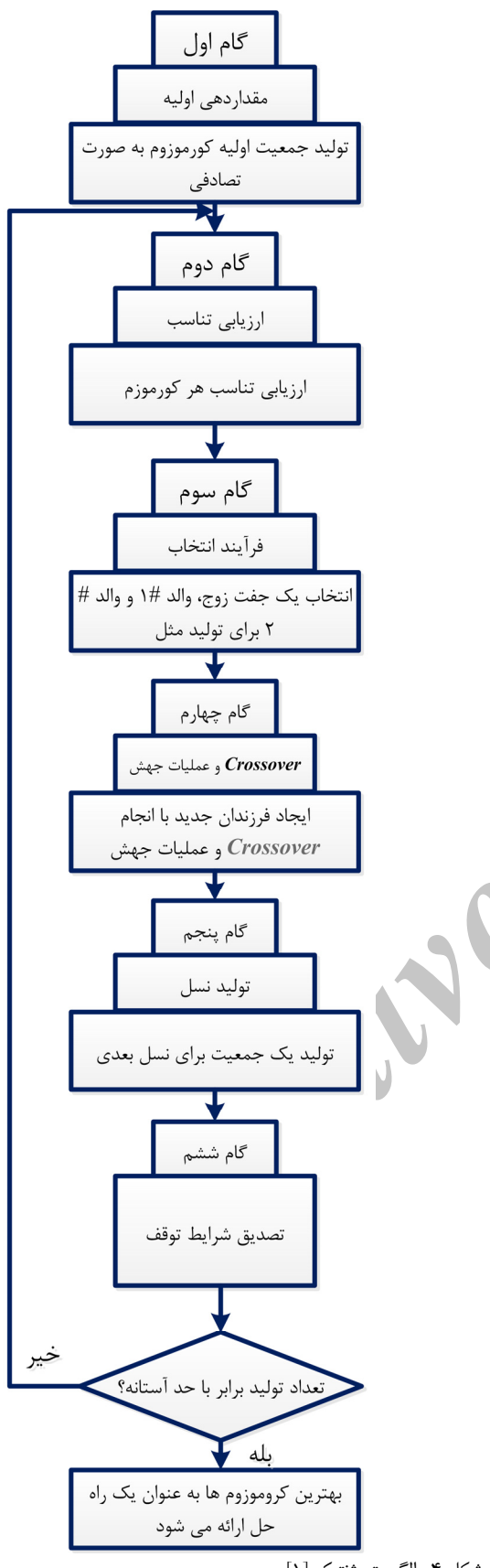
رابطه (۱۴) وابسته به محدودیت‌های (۱۵) است

$$\begin{cases} y_i - (w, \varphi(\bar{x}_i)) - b \leq \varepsilon + \xi_i^- \\ (w, \varphi(\bar{x}_i)) + b - y_i \leq \varepsilon + \xi_i^+ \\ \xi_i^-, \xi_i^+ \geq 0 \end{cases} \quad (15)$$

در محدودیت‌های (۱۵) یک مقدار از پیش تعیین شده و  $\xi_i^+$  و  $\xi_i^-$  متغیرهایی برای محدودیت‌های بالا و پایین خروجی الگوریتم هستند. بخش اول تابع هزینه، فرایند کاهش وزن است که برای تنظیم سایز وزن‌ها و جریمه وزن‌های بزرگ صورت می‌گیرد. وظیفه این تنظیم، همگرایی این وزن‌ها به وزن‌های کوچک‌تر است. بخش دوم تابع جریمه است، اگر در نقاط آموزشی خطایها بزرگ‌تر از  $\varepsilon$  باشند با استفاده از تابع تلفات ( $L$ ) تعدیل و جریمه می‌شوند. بخش سوم معادله، ثابت‌هایی هستند که مقادیر خطای بین تابع تقریب  $f(x)$  و واقعی  $y_i$  را تنظیم می‌کند. معادله به صورت زیر است

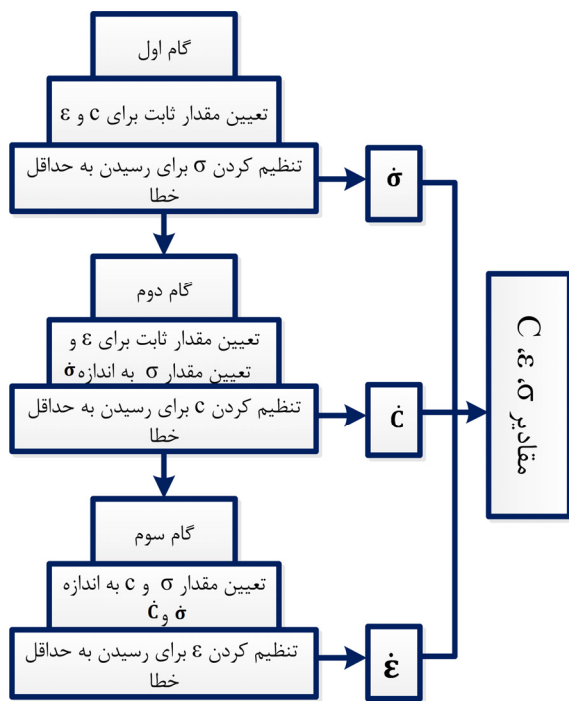
$$\max w(\alpha, \alpha^*) = \max - \frac{1}{2} \sum_{i=1}^l \sum_{j=1}^l (\alpha_i - \alpha_i^*)(\alpha_j - \alpha_j^*)(\varphi(x_i), \varphi(x_j)) + \sum_{i=1}^l \alpha_i (y_i - \varepsilon) - \alpha_i^* (y_i + \varepsilon) \quad (16)$$

با محدودیت‌های زیر



## ۴-۲ ماشین بردار پشتیبانی و الگوریتم ژنتیک

یکی از روش‌هایی که برای تعیین این پارامترها پیشنهاد می‌گردد GA است [۱] تا [۴]. گام‌های اساسی الگوریتم ژنتیک در شکل ۴ نشان داده شده است. تابع شایستگی مربوط با رابطه زیر محاسبه می‌شود



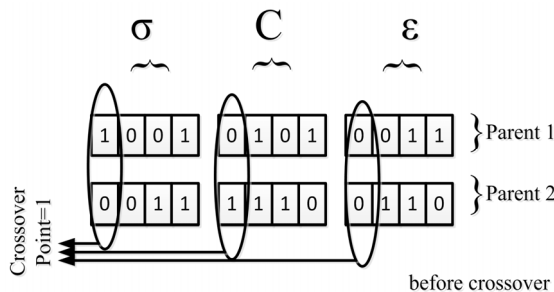
شکل ۳: گام‌های اجرایی روش جستجوی هوشمندانه برای تعیین پارامترهای SVM.

$$K(x_i, x_j) = \exp\left(-\frac{1}{\sigma^2} (x_i - x_j)^2\right) \quad (28)$$

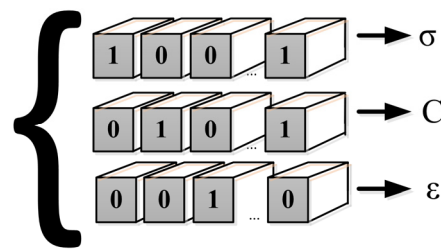
در این رابطه  $\sigma$  یک پارامتر در ارتباط باتابع RBF است که باید تنظیم شده باشد. برای تقریب هر اطلاعاتی به عنوان ورودی و خروجی الگوریتم با یک مکانیسم غیر خطی در نظر گرفته می‌شود. بنابراین ماشین بردار پشتیبان یک شبکه است که توانایی تقریب توابع اساسی (خطی یا غیر خطی) با دقت قابل قبول و با توجه به یادگیری اطلاعات‌های نمونه را دارد.

## ۴-۱ پارامترهای اساسی SVM

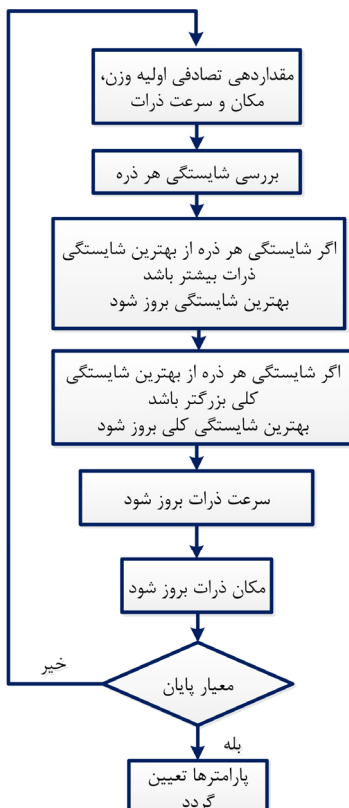
مدل SVM دارای محدودیت‌هایی است که استفاده از آن را در محیط‌های صنعتی محدود کرده است. کیفیت واقعی این الگوریتم وابستگی کاملی به تنظیم فاکتورهای SVM و همچنین پارامترهای کرنل دارد. روش‌های تجربی بر اساس دانش قبلی، تخصص کاربر و یا آزمایش تجربی است و از این رو هیچ تضمینی وجود ندارد که مقادیر پارامترهای به دست آمده واقعاً بهینه باشند. با توجه به انتخاب RBF به عنوان تابع کرنل، عملکرد خوب SVM به سه پارامتر  $c$ ,  $\sigma$  و  $\epsilon$  بستگی دارد. وقتی پارامترها به درستی انتخاب نشوند، تقریب خوبی حاصل نخواهد شد. انتخاب کمتر از مقدار درست  $c$  باعث عدم تعادل بین MCM و ERM می‌شود. کم بودن  $\epsilon$  بر روی ساختار تابع تقریب اثرگذار است و زیاد بودن آن باعث کاهش عملکرد است. اگر مقدار پارامتر  $c$  کم باشد SVM با انشاشتگی اطلاعات ورودی مواجه خواهد شد و اگر زیاد باشد SVM انعطاف لازم را برای حل مسایل پیچیده نخواهد داشت [۴]. روش‌های مختلفی برای تعیین این پارامترها وجود دارد از جمله روش جستجوی هدایت‌شده که به صورت گام‌های نشان داده شده در شکل ۳ است. این روش قابلیت اطمینان لازم را ندارد و تضمینی وجود ندارد مقادیر به دست آمده دقیقاً بهینه و بهترین هستند. از طرف دیگر زمان لازم برای تعیین پارامترها زیاد است، این روش غیر خودکار است. برای انتخاب پارامترهای اساسی SVM در این مقاله از GA و PSO استفاده شده است.



شکل ۶: فرایند ژنتیکی تعیین پارامترهای اساسی SVM.



شکل ۵: نگاشت ژن‌گونه پارامترهای اساسی SVM.



شکل ۸: الگوریتم PSO [۴].

تقریب زمان‌گیر است برای این سه پارامتر نیاز به حد مرزهایی است. کل داده‌های واقعی به دو دسته داده‌های آموزشی و داده‌های آزمایشی تقسیم و داده‌های آموزش برای جستجوی ترکیباتی از سه پارامتر استفاده می‌شود. داده‌های آزمایش برای انتخاب مناسب‌ترین پارامترها بر اساس معیار RMSE است. مطابق با ساختار شکل ۷ GA-SVM برای تعیین سه پارامتر  $C$ ,  $\sigma$  و  $\epsilon$  استفاده می‌شود.

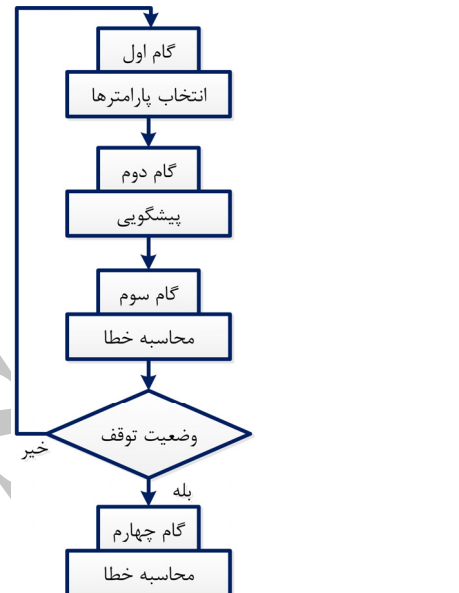
#### ۴-۳- ماشین بردار پشتیبان و بهینه‌سازی گروهی ذرات

روش PSO در شکل ۸ نشان داده شده است. در روش بهینه‌سازی گروه ذرات برای هر ذره  $i$ , یک موقعیت  $y_i$  و یک سرعت  $v_i$  در نظر گرفته می‌شود. اگر بعد مسأله بهینه‌سازی  $n$  فرض شود، بردار موقعیت و بردار سرعت  $i$  به صورت زیر است

$$y_i = [v_{i1}, v_{i2}, \dots, v_{in}] \quad (31)$$

$$V_i = [v_{i1}, v_{i2}, \dots, v_{in}] \quad (32)$$

که در آن  $y_{id}$  و  $v_{id}$  به ترتیب معرف موقعیت مکانی و سرعت بعد  $d$  ام ذره  $i$  است. سرعت و موقعیت این بعد ذره در تکرار  $t+1$  به صورت (۳۳) و (۳۴) است



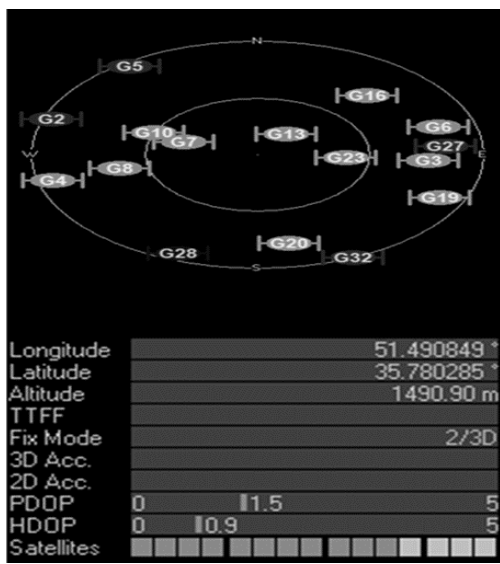
شکل ۷: ساختار GA-SVM [۱].

$$FF = -\frac{1}{\sigma^N} \sum_{i=1}^N (d_i - y_i)^r \quad (29)$$

در (۲۹) پارامتر  $\sigma$  طبق (۳۰) به دست می‌آید

$$\sigma = \sqrt{\frac{1}{N} \sum_{i=1}^N (d_i - \bar{d})^r} \quad (30)$$

که  $y_i$  مقادیر تقریب شده،  $d_i$  مقادیر واقعی،  $\bar{d}$  میانگین مقادیر واقعی و  $N$  حداکثر تعداد نمونه‌های تست است. سه پارامتر آزاد  $\sigma$ ,  $C$  و  $\epsilon$  توسط یک کروموزوم که متشکل از سه ژن به صورت اعداد دو دویی می‌باشد در شکل ۵ نشان داده شده است. اندازه جمعیت در اینجا در حدود ۲۰۰ تنظیم شده که هر ژن شامل ۴۰ بیت است. اگر هر ژن شامل ۴۰ بیت باشد پس هر کروموزوم شامل ۱۲۰ بیت است و والدین با استفاده از دو کروموزوم از کل جمعیت بر طبق تابع تناسب انتخاب می‌شوند. برای انتخاب کروموزوم در تولید مثل از انتخاب چرخ رول استفاده می‌شود. در این عملیات کروموزوم‌ها به صورت تصادفی جفت می‌شوند و برخی از زوج کروموزوم‌ها در بین دو نقطه شکست تعیین شده جایه جا می‌شوند. برای سادگی فرض کنید که یک ژن دارای چهار بیت است، پس یک کروموزوم شامل ۱۲ بیت می‌باشد (شکل ۶). قبل از انجام آمیزش مقادیر سه پارامتر در والدین اول  $1/125$ ,  $3/125$ ,  $0/09375$  و برای والدین دوم نیز سه مقدار  $0/375$ ,  $0/09375$  و  $0/1875$  است و پس از آمیزش مقادیر برای فرزندان اول سه مقدار  $1/375$ ,  $1/125$ ,  $0/1875$  و برای فرزندان دوم سه مقدار  $0/125$ ,  $0/09375$  و  $0/1875$  هستند. جهش به طور تصادفی با تبدیل بیت صفر به یک و یا بیت یک به صفر انجام می‌شود. نرخ آمیزش و جهش به صورت احتمالی تعیین می‌شود. به علت این که محاسبه خطاهای



شکل ۱۰: نمایی از ماهواره‌های ایستگاه مرجع.

## ۵- جمع‌آوری اطلاعات

در این آزمایش دو گیرنده ارزان قیمت به نام ایستگاه مرجع و ایستگاه کاربر در نظر گرفته شدند. شکل ۹ ساختار قرارگیری این دو ایستگاه را نشان می‌دهد. ایستگاه مرجع در فضای باز قرار گرفته و به عبارت دیگر تحت تأثیر اشکالات انتقالات سیگنال قرار نمی‌گیرد و ماهواره‌ها به خوبی در این ایستگاه دیده می‌شود، اثر چند مسیری در آن کم و نزدیک به صفر است. اطلاعات برای ارزیابی با نرخ فرکانسی ۱ Hz در ایستگاه‌ها با استفاده از گیرنده GPS مدل U-Blox LEA 6H جمع‌آوری گردید. محل قرارگیری آتن کاربر در کنار دانشکده مهندسی برق دانشگاه تربیت دیر شهردارجایی در نظر گرفته شد. بالطبع به دلیل ساختمان‌های کناری این گیرنده تحت تأثیر چند مسیری است. مکان دقیق قرارگیری آتن GPS ایستگاه مرجع به مختصات  $x = ۳۲۲۵۹۹۵, ۲۹$ ،  $y = ۴۰۵۴۶۳۶, ۸$  و  $z = ۳۷۰۹۴۲۹, ۶۴$  در سیستم ECEF است. مکان دقیق ایستگاه کاربر  $\bar{P}_t$  است

$$\bar{P}_t = \\ (x_p = ۳۲۲۶۲۰, ۶۹, y_p = ۴۰۵۴۵۷, ۴۵, z_p = ۳۷۰۹۳۰, ۸, ۹۶)$$

اطلاعات جمع‌آوری شده برای ۵ روز متولی به تاریخ ۱۰ تیر تا ۱۴ تیر ۱۳۹۴ می‌باشد. این ساختار طراحی شده در واقع سامانه GPS دیفرانسیلی است که در آن اثر چند مسیری به دلیل وابستگی به محیط قابل کاهش نیست. تعداد ماهواره‌های قابل مشاهده توسط این گیرنده در بهترین حالت ۱۶ ماهواره است. در شکل ۱۰ نمایی از ماهواره‌های ایستگاه مرجع دیده می‌شود. با توجه به این که هدف اصلی مقاله تست موقعیت‌یابی پس از کاهش اثر چند مسیری است ماهواره‌های مشترک آن با ایستگاه کاربر به تعداد ۵ ماهواره به شماره ۷، ۸، ۱۰، ۱۳ و ۲۳ انتخاب شد و از همین ماهواره‌ها برای تست اثر الگوریتم‌ها و سپس تست موقعیت‌یابی استفاده شد.

ساختارهای مختلفی برای جمع‌آوری اطلاعات وجود دارد. اگر گیرنده مورد استفاده دوفرکانسه بود اطلاعات کد-منهایی-حامل قابل استفاده بود، با تفاضل (۱) و (۲) اطلاعات چند مسیری با توجه مقادیر قابل محاسبه و اندازه‌گیری سایر پارامترهای حاصل قابل محاسبه بود. در خصوص گیرنده‌های تکفرکانسه مبتنی بر کد باید از اطلاعات جفت-تفاضل



شکل ۹: نمونه‌برداری، (الف) ایستگاه کاربر و (ب) ایستگاه مرجع.

$$v_{id}(t+1) = w v_{id}(t) + c_i \cdot rand(P_{id}(t)) + c_i \cdot rand(\hat{P}_d(t) - y_{id} - y_{id}(t)) \quad (۳۳)$$

$$y_{id}(t+1) = y_{id}(t) + v_{id}(t+1) \quad (۳۴)$$

در روابط فوق،  $w$  وزن اینرسی در بازه  $[۰, ۱]$  است

$$w(k) = w_{\max} - \frac{w_{\max} - w_{\min}}{k_{\max}} \cdot k \quad (۳۵)$$

در این رابطه  $w_{\max}$  وزن اولیه،  $w_{\min}$  وزن نهایی،  $k_{\max}$  حداکثر تعداد تکرارها،  $k$  تعداد تکرار جاری و  $C_i$  ضرایب یادگیری یا شتاب در بازه  $[۰, ۱]$  هستند.  $C_i$  را پارامتر اجتماعی و  $C_i$  را پارامتر شناختی می‌گویند و معمولاً این دو با هم برابر هستند. عدد تصادفی با توزیع یکتواخت در بازه  $[۰, ۱]$ ،  $\hat{P}_d$  بهترین موقعیت کلی در بین کل ذره‌ها برای بعد  $d$  ام تا کنون و  $P_{id}$  بهترین موقعیت محلی ذره در بین کل ذره‌ها برای بعد  $d$  ام تا به حال است.  $w$  برای ایجاد توازن لازم بین یافتن پاسخ کلی و محلی در رابطه بالا وارد شده است. ثابت شده که شرط همگرایی الگوریتم آن است که (۳۶) برقرار باشد

$$\cdot \leq \frac{\Phi_1 + \Phi_2}{2} - ۱ < w < ۱ \quad (۳۶)$$

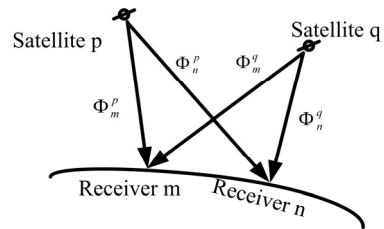
که در آن  $\Phi_1 = C_i \cdot rand$  و  $\Phi_2 = C_i \cdot rand$  هستند. برای جلوگیری از واگرایی الگوریتم، معمولاً مقدار نهایی سرعت هر ذره به یک مقدار بیشینه محدود می‌شود. شرط خاتمه الگوریتم همگرایی آن یا توقف بعد از تعداد معینی تکرار است. شایستگی هر ذره با استفاده ازتابع برآزندگی  $f(\cdot)$  سنجیده می‌شود. این تابع برآزندگی مربوط به مسئله مورد نظر بوده و هدف کمینه کردن آن است. بهترین موقعیت هر ذره  $i$  ام در هر تکرار طبق (۳۷) به هنگام می‌شود

$$P_i(t) = \begin{cases} P_i(t-1) & \text{if } f(y_i(t)) \geq f(P_i(t-1)) \\ y_i(t) & \text{if } f(y_i(t)) < f(P_i(t-1)) \end{cases} \quad (۳۷)$$

این رابطه به این معنا است که اگر مقدار فعلی تابع برآزندگی ذره  $i$  ام به ازای موقعیت فعلی  $y_i$  از برآزندگی مقدار قبلی آن کمتر باشد، همین موقعیت به عنوان بهترین موقعیت این ذره ثبت می‌شود و در غیر این صورت بهترین موقعیت ذره بهترین موقعیت قبلی باقی خواهد ماند. گام‌های الگوریتم PSO به صورت شکل ۸ است [۱]، [۲] و [۴]. ضرایب  $C_i$  و  $C_i$  به ترتیب ۲ و ۲ تعیین گردید و وزن اینرسی  $w$  به طور خطی بین ۰.۹ تا ۰.۵ کاهش پیدا کرد و حداکثر تعداد نمونه‌ها ۲۰۰۰ انتخاب شد. با استفاده از PSO مقادیر  $C$ ،  $\sigma$  و  $\epsilon$  به ترتیب برابر با  $۱/۳$ ،  $۱۰/۸$  و  $۰/۶$  تعیین گردید که این مقدار بهترین حالت برای خطای کم الگوریتم تقریب است.

جدول ۲: همبستگی نرمال شده اطلاعات اثر چندمسیری در چند روز.

روزها	۱۵ تیر	۱۴ تیر	۱۳ تیر	۱۲ تیر	۱۱ تیر
۰,۵۶۵	۰,۷۷۸	۰,۹۸۱	-	۱۲ تیر	
۰,۴۹۸	۰,۹۶۱	-	۰,۸۵۸	۱۳ تیر	
۰,۹۲۰	-	۰,۸۰۱	۰,۷۸۹	۱۴ تیر	
-	۰,۷۹۹	۰,۶۲۳	۰,۵۹۹	۱۵ تیر	



شکل ۱۱: مشاهدات GPS جفت- تقاضلی و ارتباط هندسی ماهواره و گیرنده.

جدول ۱: ۱۰۰۰ نمونه EA برای ۵ ماهواره قابل دید مشترک دو ایستگاه.

EA	شماره ماهواره
۵۶	۷
۳۷	۸
۴۳	۱۰
۷۸	۱۳
۶۳	۲۳

استفاده شود و برای جمع آوری این اطلاعات باید از ساختاری مشابه شکل ۱۱ استفاده کرد. اطلاعات مشاهدات کد برای دو ماهواره  $i$  ( $i = p, q$ ) با استفاده از دو آتنن ( $j = m, n$ ) و با استفاده از (۳۸) قابل نوشتن است

$$DD = (\rho_m^p - \rho_m^q) - (\rho_n^p - \rho_n^q) = \Delta \nabla r_{mn}^{pq} + \Delta \nabla I_{mn}^{pq} + \Delta \nabla T_{mn}^{pq} + \Delta \nabla M_{mn}^{pq} + \Delta \nabla \varepsilon \quad (38)$$

جایی که  $\Delta \nabla r_{mn}^{pq}$  یک ترکیب خطی از  $r_j^i$ ،  $\Delta \nabla M_{mn}^{pq}$  ترکیب خطی از اثر چندمسیری،  $\Delta \nabla \varepsilon$  ترم نویز کد سیستم و  $\Delta \nabla I_{mn}^{pq}$  و  $\Delta \nabla T_{mn}^{pq}$  به ترتیب ترکیب اثرات یونوسفریک و تروپوسفریک است. همه اثرات دارای واحد متر می باشد.  $\Delta \nabla M_{mn}^{pq}$  قابل نگاشت با اثر چندمسیری دو ماهواره و دو گیرنده است

$$\Delta \nabla M_{mn}^{pq} = (MP_m^p - MP_m^q) - (MP_n^p - MP_n^q) \quad (39)$$

به منظور سنجیدن اثر چندمسیری روی اطلاعات  $DD$  باید فاصله بین دو ایستگاه کم و کمتر از ۱۰ کیلومتر باشد و در این حالت اثرات یونوسفریک و تروپوسفریک اثر یکدیگر را حذف می کند. برای آتنن استاتیک برای یک ماهواره مشخص  $j$  از رابطه زیر قابل محاسبه است

$$r_j^i = \sqrt{(x^i - x_j)^2 + (y^i - y_j)^2 + (z^i - z_j)^2} \quad (40)$$

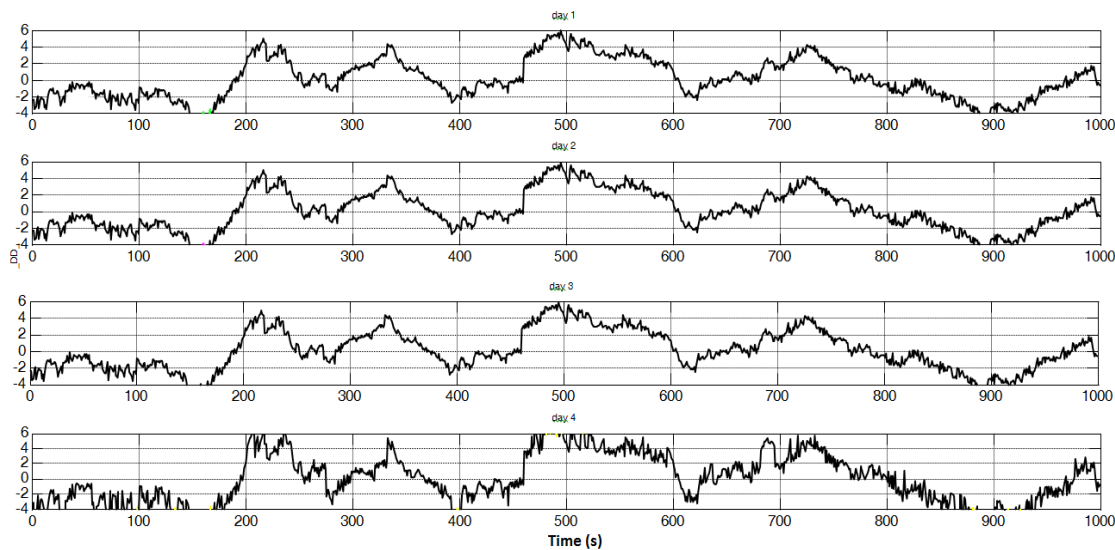
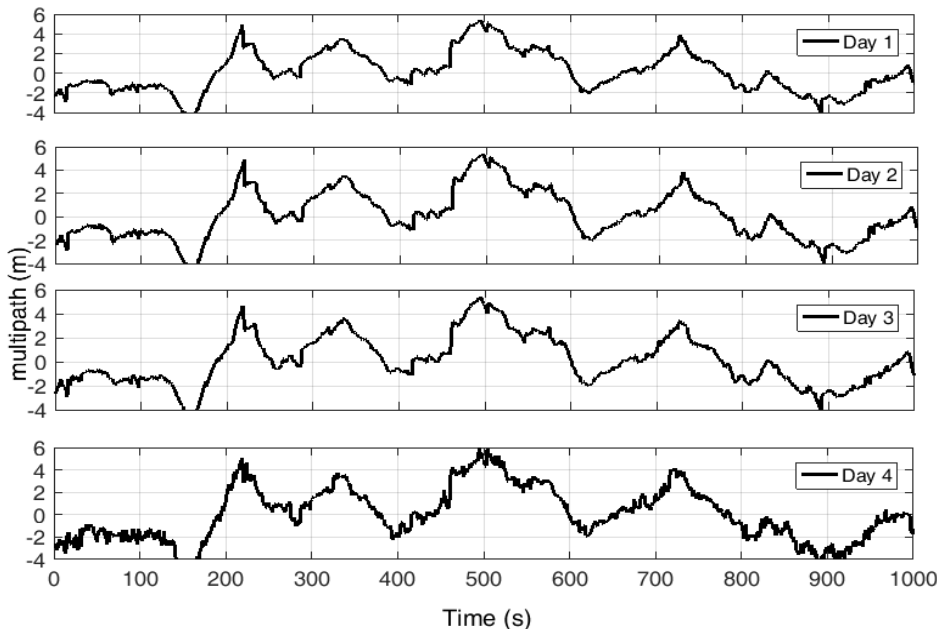
بنابراین  $\Delta \nabla r_{mn}^{pq}$  قابل محاسبه و حذف از (۳۸) است. بنابراین اثر چندمسیری محدود به (۴۱) می شود

$$DD' = \Delta \nabla M_{mn}^{pq} + \Delta \nabla \varepsilon \quad (41)$$

در رابطه بالا  $\Delta \nabla M_{mn}^{pq}$  غیر همبسته است. در فاصله کم بین دو ایستگاه اثر چندمسیری برای یک آتنن ثابت مشخص و ماهواره معین با توجه به شرایط زیر قابل تحلیل است:

(۱) یک آتنن به عنوان آتنن مرتع باید در محیطی باز قرار گیرد و بنابراین فرض بر این است که این محیط چندمسیری- آزاد است در حالی که ایستگاه کاربر فرض است که تحت تأثیر چندمسیری است (مشابه شکل ۹).

(۲) در حین مشاهدات یک ماهواره با بالاترین ارتفاع به عنوان ماهواره مرتع انتخاب می شود و فرض بر این است که این ماهواره سیگنال را مستقیم و بی واسطه به ایستگاهها می رساند (مشابه شکل ۱۰). در جدول ۱ ۵ EA ماهواره بر حسب درجه نشان داده شده و مطابق با این جدول و مطابق با انتظار ماهواره شماره ۱۳ دارای بالاترین ارتفاع است.

شکل ۱۲: اطلاعات  $DD'$ .

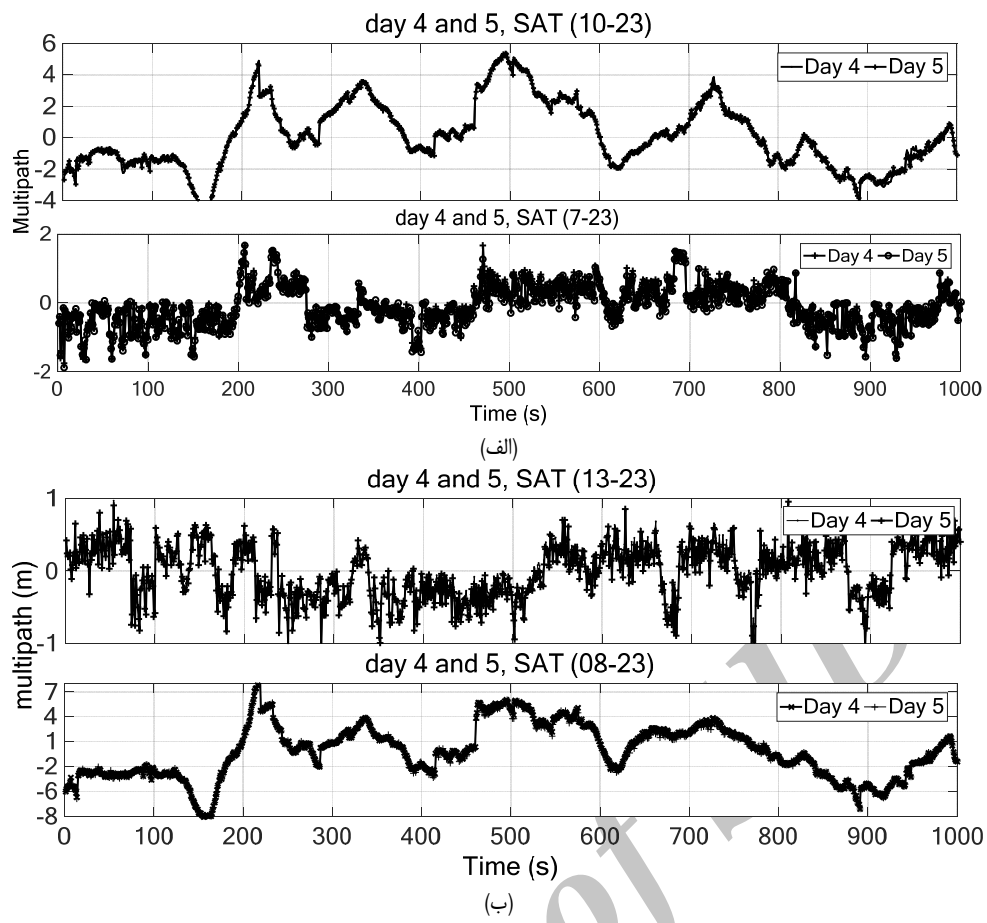
شکل ۱۳: چندمسیری برای زوج ماهواره ۱۰-۱۳ در ۴ روز متوالی.

SVM داده می‌شود. خروجی تقریبگر SVM مستقیماً برای تصحیح کد اندازه‌گیری شده روز ۱۶ تیر اعمال می‌شود تا خطای چندمسیری در آن کاهش یابد و موقعیت‌یابی خروجی به عنوان نتیجه معنکس می‌شود. شکل ۱۵ خطای چندمسیری کد برای ماهواره شماره ۸ و در تاریخ ۱۶ تیر ماه را نشان می‌دهد. ملاحظه می‌شود که تقریبزننده به خوبی توانسته پاسخگو باشد و پس از اعمال مقادیر تقریب، کد تصحیح شده با GSSVM، SVMSO و GASVM دیده می‌شود. تصحیح خطای چندمسیری در شکل ۱۶ آمده و همان طور که دیده می‌شود پس از استفاده از مدل‌ها پراکنش خطای حول نقطه صفر مرکز شده است. از طرفی مشهود است که عملکرد مدل PSOSVM بهتر از سایر روش‌ها است. عملکرد مدل PSOSVM، GSSVM و GASVM برای ۵ ماهواره موقعیت‌یاب مدد نظر ماند. شکل ۱۷ با استفاده از شاخص انحراف معیار نشان داده شده و عملکرد SVR‌های متناسب با ماهواره‌های قابل دید مشخص گردیده است. همان طور که دیده می‌شود در این شاخص در هر ۴ ماهواره PSOSVM دارای کمترین مقدار است. جستجوی مبتنی بر تحقیق پارامترهای SVM باعث می‌شود که این پارامترها به درستی

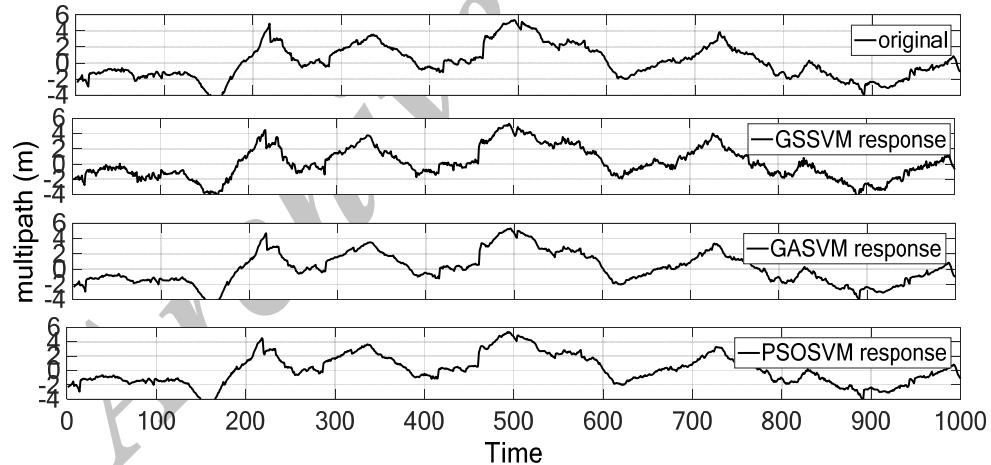
در شکل ۱۴ چندمسیری برای ۴ زوج ماهواره (۱۰-۲۳)، (۱۳-۲۳) (۷-۲۳) و (۸-۲۳) در دو روز متوالی (۱۵-۱۴) پس از اعمال CFC نشان داده شده است. اطلاعات چندمسیری پس از اعمال فیلتر اطلاعات روز چهارم از ساعت ۱۰:۱۶:۴۰ تا ساعت ۱۰:۱۶:۴۰ با فرکانس نمونه‌برداری ۱ هرتز جمع‌آوری گردیده است.

## ۶- کاهش چندمسیری و موقعیت‌یابی

برای هر ماهواره اطلاعات آموزش با استفاده از اطلاعات آزمایشگاهی جمع‌آوری شده روز قبل فراهم می‌شود. نرمال‌سازی اطلاعات قبل از آموزش آن اتفاق می‌افتد، اطلاعات زوایه و ارتفاع ماهواره و همچنین اطلاعات چندمسیری در رنج [-۱،۱] نرمال می‌شود. حسن اصلی این نرمال‌سازی علاوه بر جلوگیری از سختی محاسبات عددی، جلوگیری از محدودیت مقادیر رنج عددی بزرگ‌تر نسبت به رنج عددی کوچک‌تر است. اطلاعات وردی به SVM داده می‌شود. به طور کلی اطلاعات آموزش به این صورت است که از اطلاعات ۱۵ تیر ماه به عنوان ورودی استفاده می‌شود. اطلاعات  $DD$  پس از پردازش اولیه به عنوان ورودی به



شکل ۱۴: سری زمانی DD، (الف) دو جفت ماهواره (۱۰-۲۳ و ۷-۲۳) و (ب) دو جفت ماهواره (۸-۲۳ و ۱۳-۲۳).



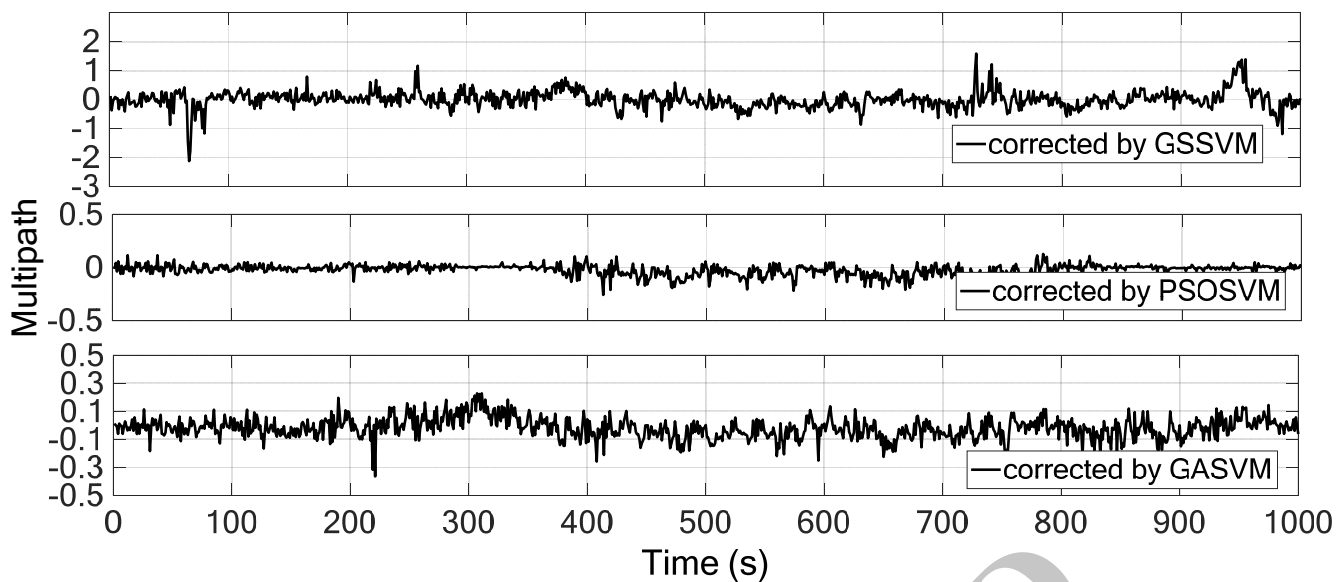
شکل ۱۵: خطای چندمسیری کد برای ماهواره ۱۰ و در تاریخ ۱۶ تیر ماه، (الف) چندمسیری کد ماهواره ۱۰، (ب) تقریب چندمسیری توسط SVM، (ج) تقریب چندمسیری توسط GASVM و (د) تقریب چندمسیری توسط PSOSVM.

جدول ۳: شاخص خطای RMS (متر) برای بهبود خطای چندمسیری.

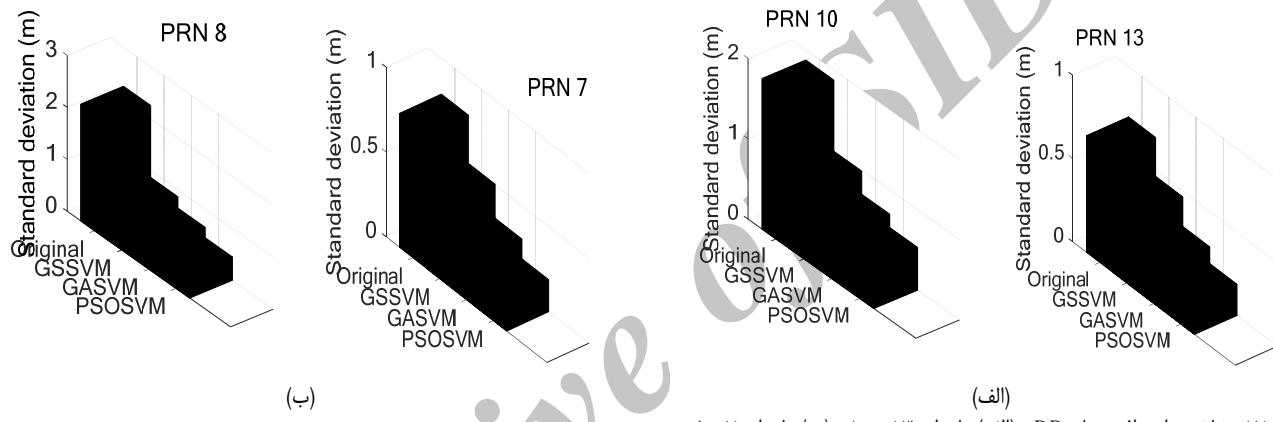
جفت ماهواره	مقادیر واقعی	مقادیر بهبودیافته GSSVM با	درصد بهبود	مقادیر بهبودیافته GASVM با	درصد بهبود	مقادیر بهبودیافته PSOSVM با	درصد بهبود
۲۳-۱۰	۱,۲۲	۰,۲۹۲	۹۶	۰,۱۰۹	۹۱	۰,۰۴۸	۹۶
۲۳-۸	۱,۳۲	۰,۳۰۳	۹۵	۰,۱۰۵	۹۲	۰,۰۶۶	۹۵
۲۳-۱۳	۰,۶۳	۰,۱۵۷	۹۶	۰,۰۵۰	۹۲	۰,۰۲۵	۹۶
۲۳-۷	۰,۸۱	۰,۱۹۴	۹۶	۰,۰۷۲	۹۱	۰,۰۳۳	۹۶

شاخص RMS برای PSOSVM کمتر از سایر روش‌هاست. درصد بهبود این روش در کاهش اثر چندمسیری به طور میانگین ۹۶ درصد می‌باشد در حالی که روش GSSVM در حدود ۷۵ درصد موفق بوده است. از آنجایی

تعیین نشود و عملکرد SVR کاهش یابد که این مهم در شکل ۱۷ مشخص است. در جدول ۳ درصد بهبود خطای RMS مربوط به DD با استفاده از سه روش منعکس شده است. از جدول مشخص است که



شکل ۱۶: تصویب خطای چندمسیری ماهواره شماره ۱۰، (الف) با روش SVM، (ب) با روش PSOSVM و (ج) با روش GASVM.



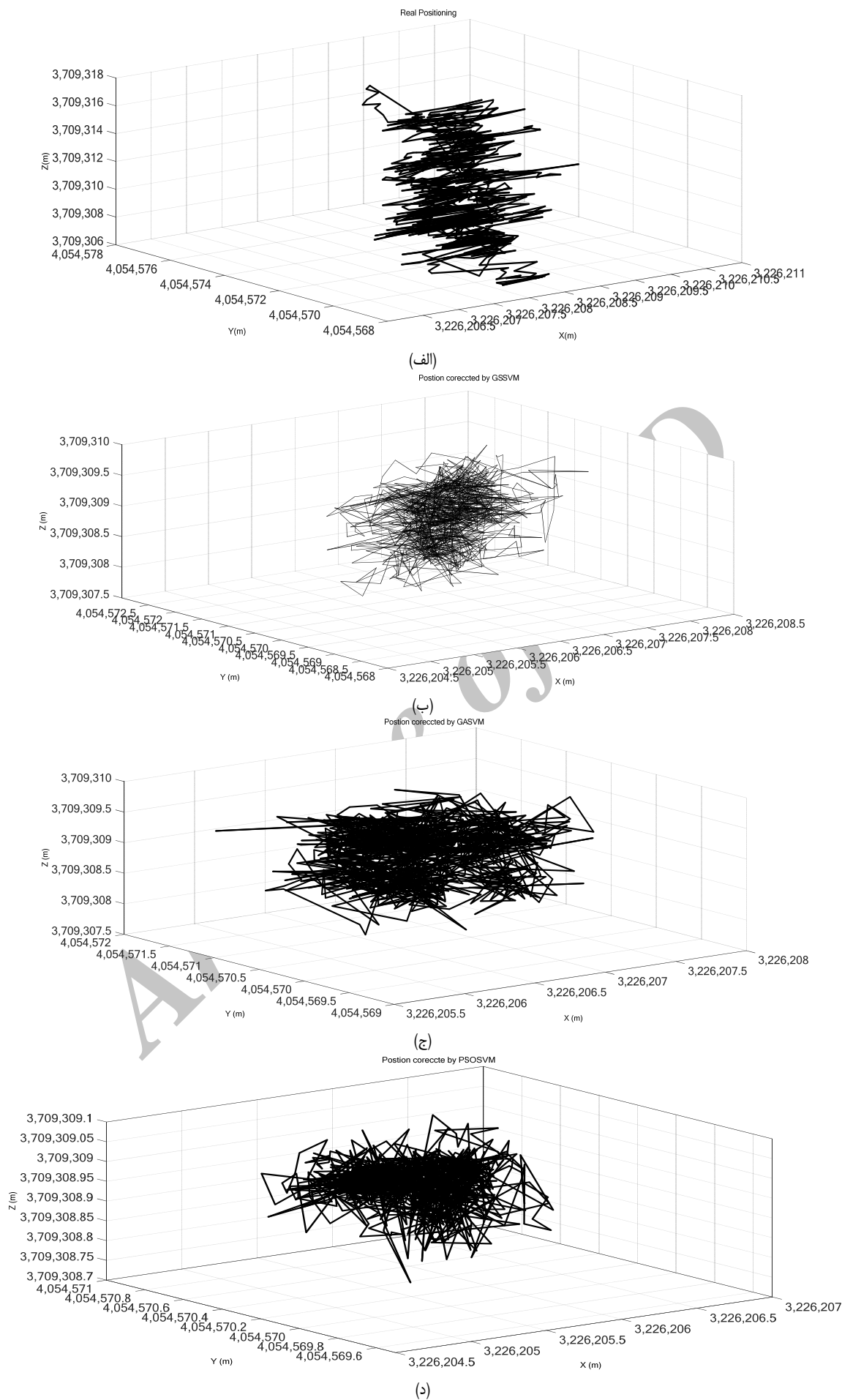
شکل ۱۷: شاخص انحراف معیار  $DD$ ، (الف) ماهواره ۱۳ و ۱۰ و (ب) ماهواره ۷ و ۸

جدول ۴: شاخص خطای RMS (متر) برای مکان‌یابی.

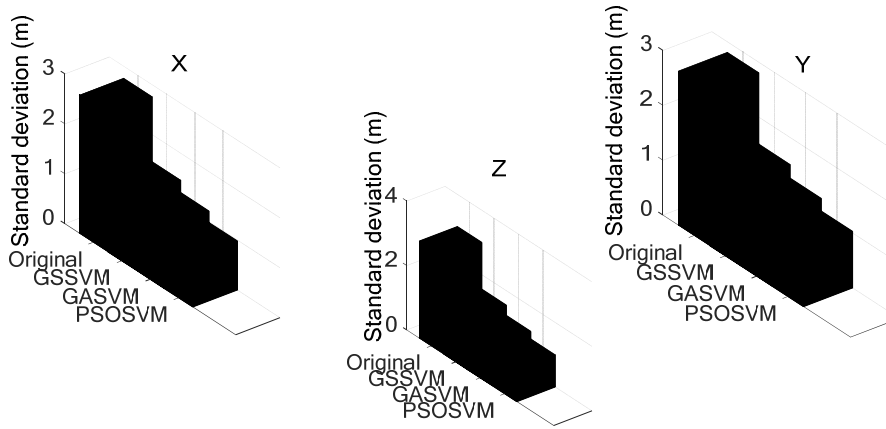
موقعیت	مقادیر واقعی	مقادیر بهبودیافته GSSVM	مقادیر بهبودیافته GASVM	مقادیر بهبودیافته PSOSVM	درصد بهبود	مقادیر بهبودیافته PSOSVM	مقادیر بهبودیافته GASVM	مقادیر بهبودیافته GSSVM	درصد بهبود
X	۳,۶۳	۱,۸۸	۱,۷۷	۱,۵۹	۵۶	۱,۵۹	۱,۷۰	۱,۷۰	۵۴
Y	۳,۷۱	۱,۹۶	۱,۸۱	۱,۷۰	۵۴	۱,۷۰	۱,۷۰	۱,۷۰	۵۴
Z	۳,۵۱	۱,۸۲	۱,۶۸	۱,۵۴	۵۶	۱,۵۴	۱,۶۸	۱,۶۸	۵۶

شده و از شکل مشهود است که خطای اطلاعات واقعی دریافت شده از گیرنده به سبب خطای چندمسیری زیاد است. استفاده از روش‌های تقریب‌زنی توانسته در کاهش این خطای مؤثر باشد که در این بین به ترتیب مدل‌های PSOSVM، GASVM و GSSVM موفق بوده است. اطلاعات تک‌فرکانسی GPS در این مقاله مورد بررسی قرار گرفته و ماهواره با ارتفاع پایین‌تر دارای خطای چندمسیری بیشتر است. سه روش نرم‌افزاری برای کاهش اثر چندمسیری استفاده شد که حسن روش‌های پیشنهادشده تعیین خودکار و صحیح پارامترهای کرنل و SVM بود. نتایج نشان داد که عملکرد دو مدل PSOSVM و GASVM بسیار بهتر از SVM با جستجوی هدایت شده است. عملکرد مدل PSOSVM اندکی بهتر از GASVM است و البته سرعت PSO در تعیین پارامترها و همگرایی آن در مقایسه با GA بسیار بهتر است. این امر به سبب کمترین پارامترهای PSO نسبت به GA است. با کامپیوتر شخصی  $(2.5\text{GHz}^5\text{CPU})$  PSOSVM در تقریب یک گام آینده دارای

که ماهواره شماره ۲۳ دارای بالاترین ارتفاع بوده است این ماهواره را برای هر ماهواره دیگر با ارتفاع پایین‌تر می‌توان به عنوان مرجع در نظر گرفت و سپس با تقریب چندمسیری هر یک به مکان‌یابی دقیق‌تری دست یافت. شکل ۱۸ موقعیت‌یابی را پس از اعمال کد تصویب شده نشان می‌دهد. این اندازه‌گیری‌ها فقط با تصویب چندمسیری است و سایر تصویبات افزایش دقت در نظر گرفته نشده است. چهار نوع موقعیت‌یابی با گیرنده کاربرد، با PSOSVM و با GASVM نشان داده است. همان‌طور که در شکل دیده می‌شود مشاهدات با روش PSOSVM بیشتر حول نقطه میانگین متتمرکز است و بنابراین روش PSOSVM در کاهش چندمسیری، مؤثرتر و در افزایش دقت مکان‌یابی موفق بوده است. جدول ۴ خطای RMS موقعیت‌یابی سبعدی GPS کاربرد را نشان می‌دهد. مشهود است که کاهش چندمسیری با الگوریتم PSOSVM به اندازه ۹۶ درصد موفقیت‌آمیز و حدوداً ۵۰ درصد در افزایش دقت مکان‌یابی مؤثر بوده است. در شکل ۱۹ شاخص انحراف معیار برای بررسی استفاده



شکل ۱۸: موقعیت یابی سه بعدی پس از اعمال کد تصحیح شده با الگوریتم های مختلف، (الف) مقادیر واقعی، (ب) GASVM و (ج) GSSVM .PSOSVM



شکل ۱۹: شاخص انحراف معیار خطای مکان‌یابی سه‌بعدی قبل و بعد از بهبود.

جدول ۵: مقایسه روش‌های پیشنهادی این مقاله با سایر مقالات.

عنوان روش	سال	مرجع
SWT	۲۰۱۴	۳۳
WT	۲۰۱۴	۳۳
SVR	۲۰۱۳	۳۴
CSF	۲۰۰۶	۳۶
FIR	۲۰۰۰	۷
FFT	۲۰۰۴	۳۷

model," *J. of Electrical and Computer Engineering Innovations*, vol. 1, no. 1, pp. 43-50, May 2013.

- [3] M. H. Refan, A. Dameshghi, and M. Kamarzarrin, "Real time pseudo-range correction predicting by a hybrid GASVM model in order to improve RTDGPS accuracy," *Iranian J. of Electrical and Electronic Engineering*, vol. 9, no. 4, pp. 215-223, Dec. 2013.
- [4] M. H. Refan, A. Dameshghi, and M. Kamarzarrin, "Improving RTDGPS accuracy using hybrid PSOSVM prediction model," *Aerospace Science and Technology*, vol. 37, no. 7, pp. 55-69, Aug. 2014.
- [5] T. L. Dammalage, C. Satirapod, S. Kibe, and C. Ogaja, "C/A code multipath mitigation at GPS base stations for improved DGPS corrections using wavelets," *Survey Review*, vol. 42, no. 317, pp. 240-255, Jul. 2010.
- [6] J. W. Erickson, P. S. Maybeck, and J. F. Raquet, "Multipath-adaptive GPS/INS receiver," *IEEE Trans. on Aerospace and Electronic Systems*, vol. 41, no. 2, pp. 645-657, Apr. 2005.
- [7] L. Ge, S. Han, and C. Rizos, "Multipath mitigation of continuous GPS measurements using an adaptive filter," *GPS Solutions*, vol. 4, no. 2, pp. 19-30, Oct. 2000.
- [8] C. Satirapod and C. Rizos, "Multipath mitigation by wavelet analysis for GPS base station applications," *Survey Review*, vol. 38, no. 295, pp. 2-10, Jan. 2010.
- [9] J. M. Tranquilla, J. P. Carr, and H. M. Al-Rizzo, "Analysis of a choke ring groundplane for multipath control in global positioning system (GPS) applications," *IEEE Trans. on Antennas and Propagation*, vol. 42, no. 7, pp. 905-911, Jul. 1994.
- [10] E. M. Souza, J. F. G. Monico, A. Pagamisse, and W. G. C. Polezel, "An effective wavelet method to detect and mitigate low-frequency multipath effects VI Hotine-Marussi Symp," *Theoretical and Computational Geodesy*, vol. 132, pp. 179-184, 2008.
- [11] F. ScireScappuzzo and S. N. Makarov, "A low-multipath wideband GPS antenna with cutoff or non-cutoff corrugated ground plane," *IEEE Trans. on Antennas and Propagation*, vol. 57, no. 1, pp. 33-46, Jan. 2009.
- [12] E. M. Souza and J. F. G. Monico, "Wavelet shrinkage: high frequency multipath reduction from GPS relative positioning," *GPS Solutions*, vol. 8, no. 3, pp. 152-159, Sept. 2004.
- [13] L. Ge, S. Han, and C. Rizos, "GPS multipath change detection at permanent GPS stations," *Survey Review*, vol. 36, no. 283, pp. 306-322, Jan. 2002.
- [14] L. Ge, S. Han, and C. Rizos, "GPS multipath change detection at permanent GPS stations," *Survey Review*, vol. 36, no. 283, pp. 306-322, Jan. 2002.
- [15] M. Tranquilla, J. P. Carr, and H. M. Al-Rizzo, "Analysis of a choke ring groundplane for multipath control in global positioning system

۲۰۱ میلی‌ثانیه زمان پردازش است در حالی که این مقدار برای GASVM ۴۹۳ است. به منظور مقایسه روش‌های پیشنهادی این مقاله با مقالات دیگر جدول ۵ آمد و این مقایسه در درصد کاهش اثر چندمیسری انجام شده است. از آنجایی که مکان‌یابی بر اساس کد و گیرنده ارزان قیمت با مکان‌یابی بر اساس فاز و گیرنده گران قیمت قبل مقایسه نیست، در این فاکتور نیز بر اساس درصد افزایش دقت مکان‌یابی مقایسه صورت گرفته و همچنین روش‌های نرم‌افزاری مذکور گرفته است.

## ۷- نتیجه‌گیری

یک الگوریتم جدید برای کاهش چندمیسری بر اساس SVM به کار گرفته شد. بر اساس تحلیل اطلاعات هندسی سیگنال منعکس شده چندمیسری مدلی برای اثر چندمیسری قابل استخراج است. اطلاعات یک گیرنده ارزان قیمت GPS و بر اساس کد-شبیه‌فاصله برای آزمایشات استفاده شد. نتایج نشان داد که یک بهبود بسیار مناسب در موقعیت‌یابی حاصل شده و خطای RMS مربوط به DD کاهش یافته است. روش PSOSVM در حدود ۹۶ درصد در کاهش این اثر مؤثر بوده است در حالی که روش SVM و GASVM به ترتیب ۷۶ و ۸۹ درصد موفقیت داشته‌اند. این نتایج نشان می‌دهد که استفاده از PSO در تعیین پارامترهای اساسی SVM و کرنل در عملکرد و قابلیت آن تأثیر بسزایی دارد. همچنین شبیه‌سازی‌ها نشان داد که استفاده از این روش در پایداری نتایج GPS مؤثر بوده و مشاهدات حول نقطه میانگین متتمرکز است.

## مراجع

- [1] M. H. Refan, A. Dameshghi, and M. Kamarzarrin, "Real-time differential global poisoning system stability and accuracy improvement by utilizing support vector machine," *International J. of Wireless Information Networks*, vol. 23, no. 1, pp. 66-81, Mar. 2016.
- [2] M. H. Refan and A. Dameshghi, "RTDGPS implementation by online prediction of GPS position components error using GA-ANN

- measurements," *IEEE Trans. on Signal Processing*, vol. 55, no. 4, pp. 1275-1285, Mar. 2007.
- [31] N. Zheng, L. Cai, H. Bian, and C. Lin, "Hybrid particle filtering algorithm for GPS multipath mitigation," *Trans. Nonferrous Met. Soc. China*, vol. 24, no. 5, pp. 1554-1561, May 2014.
- [32] G. Audrey, T. Jean-Yves, and C. Vincent, "A particle filtering approach for joint detection/estimation of multipath effects on GPS measurements," *IEEE Trans. on Signal Processing*, vol. 55, no. 4, pp. 1275-1285, Apr. 2007.
- [33] M. R. Azbarad and M. R. Mosavi, "A new method to mitigate multipath error in single-frequency GPS receiver with wavelet transform," *GPS Solutions*, vol. 18, no. 2, pp. 189-198, Apr. 2014.
- [34] P. Quoc-Huy, T. Su-Lim, and M. Ian, "GPS multipath mitigation: a nonlinear regression approach," *GPS Solutions*, vol. 17, no. 3, pp. 371-380, Jul. 2013.
- [35] G. Felipe, N. Kristine, and M. Larson, "An open source GPS multipath simulator in matlab/octave," *GPS Solutions*, vol. 18, no. 3, pp. 473-481, Jul. 2014.
- [36] P. Misra and P. Enge, *Global Positioning System: Signals, Measurements, and Performance*, 2nd Edn. IGanga-Jamuna Press, Massachusetts, 2006.
- [37] Y. Zhang and C. Bartone, "Multipath mitigation in frequency domain," in *Proc. of the IEEE/ION PLANS*, vol. 3, pp. 486-495, Athens, OH, USA, 26-29 Apr. 2004.
- محمد شمس استفندآبادی** در سال ۱۳۷۹ مدرک کارشناسی خود را در رشته مهندسی برق از دانشگاه صنعتی نوشیروانی باطل دریافت کرد. وی تحصیلات خود را در مقاطعه کارشناسی ارشد و دکتری در رشته مهندسی برق- بیوالکتریک در دانشگاه تربیت مدرس در سال های ۱۳۸۲ و ۱۳۸۶ به پایان رساند. او هم اکنون دانشیار دانشکده مهندسی برق دانشگاه تربیت دبیر شهید رجائی می باشد. زمینه های تحقیقاتی مورد علاقه ایشان عبارتند از: پردازش تصویر، فیلتر های تطبیقی و شبکه های توزیع شده تطبیقی از: پردازش تصویر، فیلتر های تطبیقی و شبکه های توزیع شده تطبیقی
- محمدحسین رفان** تحصیلات خود را در مقاطعه کارشناسی، کارشناسی ارشد و دکتری به ترتیب در سال های ۱۳۵۶، ۱۳۷۹ و ۱۳۷۱ از دانشگاه علم و صنعت ایران به پایان رسانده و هم اکنون دانشیار دانشکده مهندسی برق دانشگاه تربیت دبیر شهید رجائی می باشد. زمینه های تحقیقاتی مورد علاقه ایشان عبارتند از: سیستم های کنترل صنعتی، سیستم های تبیین و تشخیص خط و سیستم های موقعیت یاب ماهواره ای.
- عادل دمشقی** تحصیلات خود را در مقاطعه کارشناسی و کارشناسی ارشد مهندسی برق به ترتیب در سال های ۱۳۹۰ و ۱۳۹۲ از دانشگاه تربیت دبیر شهید رجائی به پایان رسانده است و هم اکنون دانشجوی دکتری دانشگاه تربیت دبیر شهید رجائی در رشته مهندسی برق گرایش الکترونیک می باشد. زمینه های تحقیقاتی مورد علاقه ایشان عبارتند از: توابع بولی، سامانه های مکان یاب جهانی، توربین های بادی، پایش وضعیت و عیوب یابی هوشمند.
- (GPS) applications," *IEEE Trans. on Antennas and Propagation*, vol. 42, no. 7, pp. 905-911, Jul. 1994.
- [16] J. K. Ray, M. E. Cannon, and P. Fenton, "Mitigation of static carrierphase multipath effects using multiple closely spaced antennas," *The J. of Navigation*, vol. 46, no. 3, pp. 193-202, Sept. 1999.
- [17] B. R. Townsend and P. C. Fenton, "A practical approach to the reduction of pseudorange multipath errors in a L1 GPS receiver," in *Proc. ION GPS-94, U.S. Inst. of Navigation*, vol. 7, pp. 143-148, Salt Lake City, USA, Sept. 1994.
- [18] R. D. J. Van Nee, J. Siereveld, P. C. Fenton, and B. R. Townsend, "The multipath estimating delay lock loop: approaching theoretical accuracy limits," in *Proc. IEEE Symp. Position, Locat. Navig.*, vol. 1, pp. 246-251, Las Vegas, USA, Apr. 1994.
- [19] D. Moelker, "Multiple antennas for advanced GNSS multiple mitigation and multipath direction finding," in *Proc. of ION GPS-97, Kansas City*, vol. 1, pp. 541-550, Sept. 1997.
- [20] L. Huicui, L. Xiaojing, G. Linlin, R. Chris, and W. Feixue, "Variable length LMS adaptive filter for carrier phase multipath mitigation," *GPS Solutions*, vol. 15, no. 1, pp. 29-38, Jan. 2011.
- [21] H. Liu, X. Li, L. Ge, C. Rizos, and F. Wang, "Variable length LMS adaptive filter for pseudorange multipath mitigation based on SydNET stations," *J. of Applied Geodesy*, vol. 3, no. 1, pp. 35-46, Dec. 2008.
- [22] W. Ulrich, R. Noor, and P. Collier, "Mitigation of periodic GPS multipath errors using a normalised least mean square adaptive filter," *J. of Spatial Science*, vol. 54, no. 1, pp. 1-13, Jun. 2009.
- [23] C. Satrapod, R. Khoonphool, and C. Rizos, "Multipath mitigation of permanent GPS stations using wavelets," in *Proc. Int. Symp. on GPS/GNSS*, pp. 15-18, Tokyo, Japan, Nov. 2003.
- [24] E. M. Souza, J. F. G. Monico, W. G. C. Polezel, and A. Pagamisse, "An effective wavelet method to detect and mitigate low-frequency multipath effects," in *Proc. VI Hotine-Marussi Symp on Theoretical and Computational Geodesy*, pp. 179-184, Wuhan, China 29 May-2 Jun., 2006.
- [25] Y. W. Lee, Y. C. Suh, and R. Shibasaki, "A simulation system for GNSS multipath mitigation using spatial statistical methods," *Computers & Geosciences*, vol. 34, no. 11, pp. 1597-1609, Nov. 2008.
- [26] M. R. Mosavi, "A practical approach for accurate positioning with L1 GPS receivers using neural networks," *J. of Intelligent and Fuzzy Systems*, vol. 17, no. 2, pp. 159-171, Jan. 2006.
- [27] A. Bilich and K. M. Larson, "Mapping the GPS multipath environment using the signal-to-noise ratio (SNR)," *Radio Science*, 2007.
- [28] A. Bilich, K. M. Larson, and P. Axelrad, "Modeling GPS phas multipath with SNR: Case study from Salar de Uyuni, Bolivia," *Geophys Res*, 2008.
- [29] C. Rost and L. Wanninger, "Carrier phase multipath mitigation based on GNSS signal quality measurements," *J. of Applied Geodesy*, vol. 3, no. 2, pp. 81-87, Jun. 2009.
- [30] A. Giremus, J. Y. Tourneret, and V. Calmettes, "A particle filtering approach for joint detection/estimation of multipath effects on GPS